

К вопросу мембранный очистки использованных рассолов
Б.Л. ЕРБИНА, Е.А. ДЕНИСЮК и С.В. КАРЫЧЕВ, Л.В. КАЛМЫКОВА

Московский технологический институт мясной и молочной промышленности, Москва, СССР.

Б.Ф. ОРЕШИН

Всесоюзный научно-исследовательский институт мясной промышленности, Москва, СССР.

Развитие техники и технологии концентрирования и очистки жидких систем в мясной и молочной промышленности в настоящее время определяется в основном достижениями мембранных технологий, позволяющей фракционировать (сгущать), очищать, регенерировать и стерилизовать жидкие продукты биологического происхождения без какого-либо термического воздействия на них. Кроме того, возможности мембранных технологий позволяют значительно снизить негативные явления промышленной технологии по отношению к окружающей среде путем более полного извлечения биологических компонентов из вторичного сырья и отходов.

В качестве фильтрующих перегородок находят широкое применение полимерные материалы, при этом к ним предъявляется требование обеспечения наибольшей производительности. Важнейшей характеристикой любой фильтрующей перегородки является ее проницаемость:

$$Q = \frac{1}{S} \frac{\partial V}{\partial t} \quad \text{м}^3 / \text{м}^2 \cdot \text{s} \quad (1)$$

где V - объем суспензии, прошедшей через фильтрующую перегородку площадью S за единицу времени t [3].

С целью определения рабочих режимов стерилизации вторичных рассолов после посола мясопродуктов нами исследовалась свойства ацетатцеллюлозных мембран типа УАМ-200, УАМ-300, УАМ-500 с диаметром пор 0,02; 0,03; 0,05 мкм соответственно.

В литературе [1, 2, 3, 6] рекомендуется определять проницаемость мембран по известному уравнению Хагена-Пуазейля, которое, однако, справедливо лишь для случая течения маловязких жидкостей через капиллярные прямые поры цилиндрической формы при условии стабильности их конфигурации [1, 2, 3, 4]. Применяя же в технике мембранных разделений ацетатцеллюлозные мембрани имеют поры, форма которых значительно отличается от прямой цилиндрической, и определены по поверхности неравномерно [1, 2, 5]. Кроме того ацетатцеллюлозные мембрани нельзя отнести к жестким системам, и поэтому, очевидно, нельзя ожидать точных результатов определения проницаемости по уравнению Хагена-Пуазейля. Нами производились расчеты проницаемости ацетатцеллюлозных мембран типа УАМ-200, УАМ-300, УАМ-500 по дистиллированной воде согласно уравнению Хагена-Пуазейля:

$$Q = \frac{1}{S} \frac{V}{t} = \frac{R^2 f}{8 \mu} \frac{l}{(\Delta P - \pi)} \quad \text{м}^3 / \text{м}^2 \cdot \text{s} \quad (2)$$

где V - объем фильтрата, м^3 ; S - эффективная площадь мембраны, м^2 ; R - средний радиус пор, м ; f - пористость мембраны; l - толщина мембраны, м ; μ - коэффициент динамической вязкости, $\text{Па} \cdot \text{с}$; ΔP - перепад давления, Па ; π - осмотическое давление, Па .

Результаты этих расчетов для мембран УАМ-200, УАМ-300, УАМ-500 представлены в виде графиков на рис. 1. Из графиков видно, что зависимость проницаемости ацетатцеллюлозных мембран

от величины перепада давления имеет линейный характер. Однако наши исследования и [5] свидетельствуют о том, что проницаемость полимерных мембран, полученная экспериментально, значительно отличается от расчетной проницаемости. При этом, отличие сильно увеличивается с ростом давления в надмембранный зоне, а зависимость проницаемости мембран Q от перепада давления ΔP имеет нелинейный характер, причем, с ростом величины ΔP от 0 до ΔP_c проницаемость мембраны Q увеличивается до максимального значения Q_{max} . При дальнейшем росте перепада давления ΔP наблюдается снижение проницаемости Q .

С целью изучения истинной зависимости проницаемости ацетатцеллюлозных мембран типа УАМ нами были проведены экспериментальные исследования, в задачу которых входило определение величины рабочего давления в надмембранный зоне, обеспечивающего наибольшую производительность мембран. Исследования проводились на ультрафильтрационной установке типа "фильтрпресс", схема которой представлена на рис. 2. В качестве фильтруемой суспензии нами была использована дистиллированная вода. Поэтому влияние на процесс явления концентрационной поляризации было исключено. В процессе проведения опытов производили контрольные замеры объемов фильтрата за разные промежутки времени при фиксированных значениях давления в надмембранный зоне. Результаты этих исследований представлены графически на рис. 1 и рис. 3 (пунктирные линии). Из этих графиков видно, что зависимость проницаемости ацетатцеллюлозных мембран серии УАМ от давления в надмембранный зоне имеет нелинейный характер с явно выраженным максимумом проницаемости в интервале $0,7 \pm 0,9 \text{ Mpa}$.

Аналогичные исследования были проведены с металлокерамическими фильтрами (средний диаметр пор 5 мкм), которые использовались в экспериментах в качестве пористых подложек. Результаты этого исследования свидетельствуют о том, что зависимость проницаемости от перепада давления для металлокерамической подложки с диаметром пор 5 мкм практически линейна, хотя и отличается от расчетной по уравнению (2). Таким образом, нами был сделан вывод о том, что на характер зависимости проницаемости ацетатцеллюлозных мембран Q от перепада давления ΔP металлокерамическая подложка влияния не оказывает.

Из анализа расчетных и экспериментальных зависимостей (рис. 1) проницаемости ацетатцеллюлозных мембран серии УАМ от давления в надмембранный зоне следует, что расхождение между ними слишком велико как в количественном, так и в качественном аспекте. Поэтому для расчета

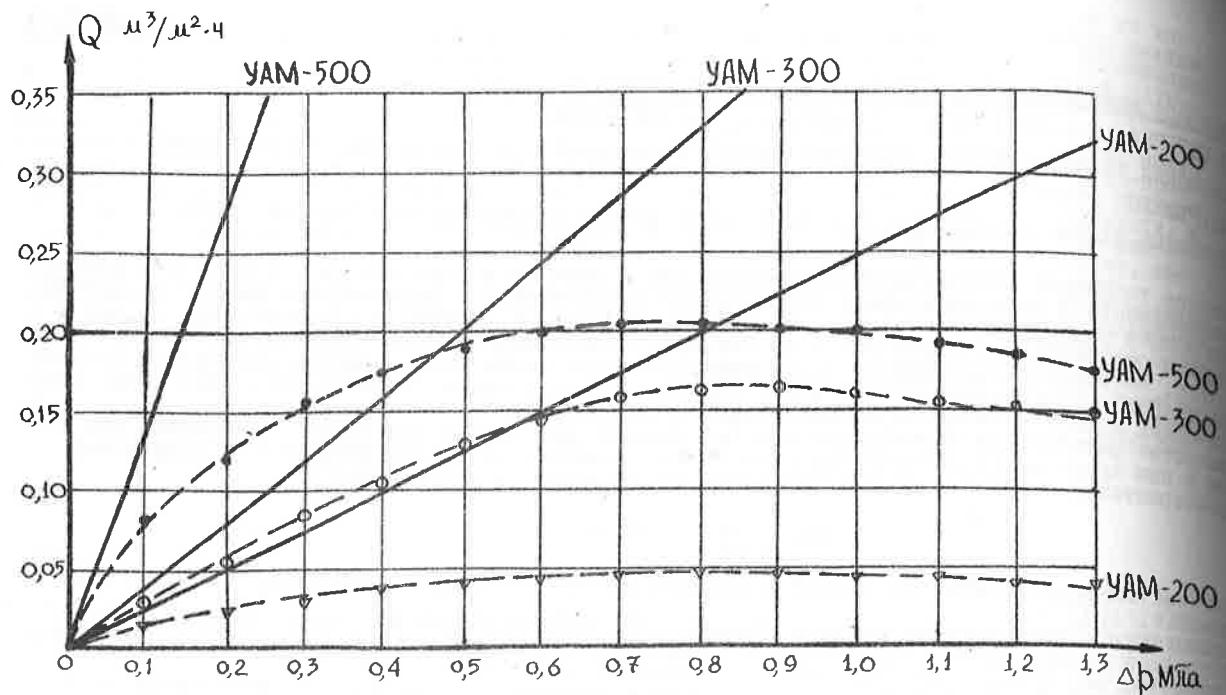


Рис.1. График зависимости проницаемости мембран от перепада давления

—расчетные зависимости по формуле (2)
- - - экспериментальные данные

Figure 1. Plot of the permeability, Q versus the pressure difference, Δp across the membrane
— theoretical curves, calculated from equation (2)
- - - empirical data

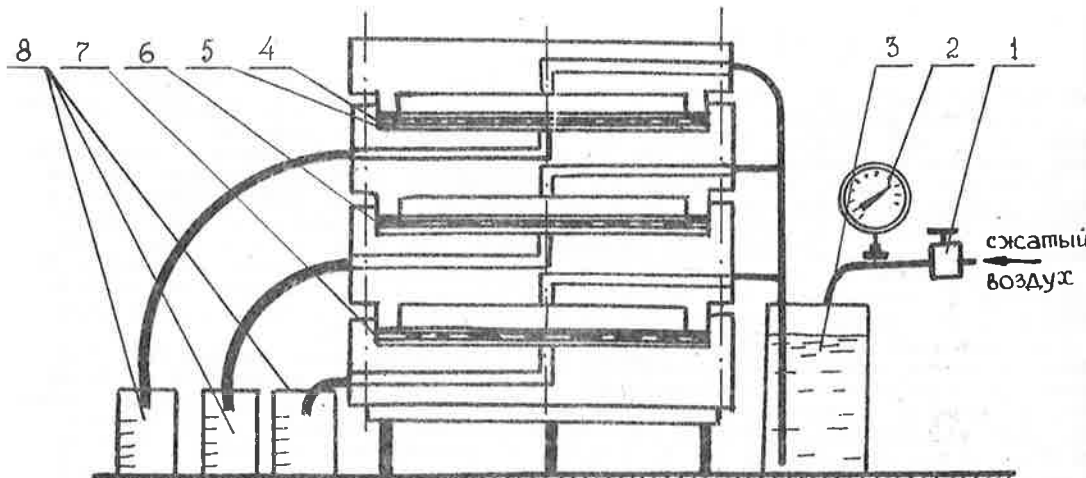


Рис.2. Схема установки для определения зависимости проницаемости мембран от перепада давления. 1- редуктор давления, 2- манометр, 3- емкость для передавливания, 4- мембрана УАМ-500, 5- пористая металлокерамическая подложка, 6- мембрана УАМ-300, 7- мембрана УАМ-200, 8- коллектор для фильтрата.

Figure 2. A sketch of the set used to determine permeability of the cellulose acetate membrane versus the pressure difference. 1- reducing valve, 2- pressure gange, 3- vessel intended to wring the fluids, 4- cellulose acetate membrane UAM-500, 5- porous metallic ceramic filter, 6- cellulose acetate membrane UAM-300, 7- cellulose acetate membrane UAM-200, 8- graduated permeat collector.

проницаемости пользоваться уравнением Хагена-Пуазейля нельзя. дело в том, что ацетатцеллюлозные мембранны проявляют свойства вязкоупругости такие, как гистерезис при циклическом сжатии и разгрузки и ползучесть при постоянном напряжении (усадка и уплотнение) [3,8]. Уравнение (2), как указывалось выше, справедливо для случая течения маловязких жидкостей через капиллярные прямые поры цилиндрической формы. При этом форма пор не изменяется. Естественно, для жестких металлокерамических фильтров уравнение (2) дает зависимость проницаемости от давления в надмембранный зоне качественно сходную с экспериментальной. Рассхождения возникают лишь в связи с неправильностью формы пор и значительным разбросом величины их радиуса. В связи с отсутствием описания зависимости проницаемости ацетатцеллюлозных мембран от перепада давления в аналитической форме, нами предлагается приближенное уравнение, определяющее такую зависимость.

Представим уравнение (2) в виде:

$$Q = \frac{1}{S} \frac{V}{t} = \frac{G}{\mu} (\Delta P - \pi) \quad \text{м}^3/\text{м}^2 \cdot \text{с} \quad (3)$$

$$G = \frac{R^2 f}{8t} \quad \text{м}, \quad (4)$$

G - обобщенная геометрическая характеристика пор мембранны. В случае, когда мембра имеет жесткую структуру (металлокерамическая подложка) $G = \text{const}$, эластичность мембранны приводит к тому, что форма и размеры пор под действием давления в надмембранный зоне изменяются, а значит изменяется пористость. Кроме того, необходимо также учесть отличие формы пор от прямой цилиндрической. Для эластичной мембранны

$$G = \frac{R^2 f}{8t} K(\Delta P) = G(\Delta P) \quad \text{м} \quad (5)$$

Зависимость (5) целесообразно представить в виде:

$$G = \frac{R^2 f}{8t} K(\Delta P) \quad \text{м} \quad (6)$$

Из $K(\Delta P)$ - коэффициент, учитывающий отличие формы пор от прямой цилиндрической и изменение пористости мембранны под действием давления в надмембранный зоне. Коэффициент $K(\Delta P)$ удобно представить в виде произведения двух сомножителей

$$K(\Delta P) = k_s \cdot k_{(\Delta P)} \quad (7)$$

где k_s - коэффициент, учитывающий неправильность формы пор; $k_{(\Delta P)}$ - переменный сомножитель, учитывающий изменение размеров и формы пор (пористости мембранны) под действием перепада давления ΔP .

Для материалов, восприимчивых к сжатию, таких как глины, установлено [7], что изменение пористости с глубиной пласта описывается соотношением:

$$f = f_0 e^{-\alpha z} \quad (8)$$

f_0 - средняя пористость у поверхности пласта; z - глубина под поверхностью, м; α - постоянная, м⁻¹. В пласте глины с увеличением глубины под поверхностью z возрастает и давление, поэтому для ацетатцеллюлозной полупроницаемой мембранны серии УАМ уравнение (8) можно представить в виде:

$$f = f_0 K(\Delta P) = f_0 e^{-\frac{\Delta P}{k_s}} \quad (9)$$

где f_0 - первоначальная пористость (когда перепад давления равен нулю); ΔP - перепад давления на мембране, Па; k_s - коэффициент, учитывающий эластичные свойства мембранны, численно равный перепаду давления ΔP_0 для которого проницаемость мембранны максимальна, Па. Уравнений (3), (6), (7), (9) следует:

$$Q = \frac{1}{S} \frac{V}{t} = \frac{1}{\mu} \frac{R^2}{8t} k_s f_0 e^{-\frac{\Delta P}{k_s}} (\Delta P - \pi) \quad \text{м}^3/\text{м}^2 \cdot \text{с} \quad (10)$$

Для каждого типа мембранны УАМ-200, УАМ-300, УАМ-500 методом наименьших квадратов были определены значения k_s и k_s (табл. I). По уравнению (10) нами были получены скорректированные расчетные зависимости проницаемости ацетатцеллюлозных мембранны серии УАМ по дистиллированной воде от давления в надмембранный зоне. Эти зависимости совместно с экспериментальными кривыми представлены на рис. 3. Результаты сопоставления расчетных и опытных данных показали, что ошибка не превышает 10%. Кривые, рассчитанные по уравнению (10), имеют максимумы в зоне $(0,8 \pm 1,0)$ МПа, что подтверждается экспериментом. При перепаде давления от 0 до значения равного k_s процесс "проталкивания жидкости" давлением через поры доминирует над процессом сжатия пор и оказывает основное влияние на зависимость проницаемости ацетатцеллюлозных мембранны серии УАМ от перепада давления ΔP . Поэтому в интервале перепада давлений $0 < \Delta P < k_s$ эта зависимость имеет возрастающий характер (проницаемость мембранны увеличивается). При $\Delta P = k_s$ проницаемость достигает максимума,

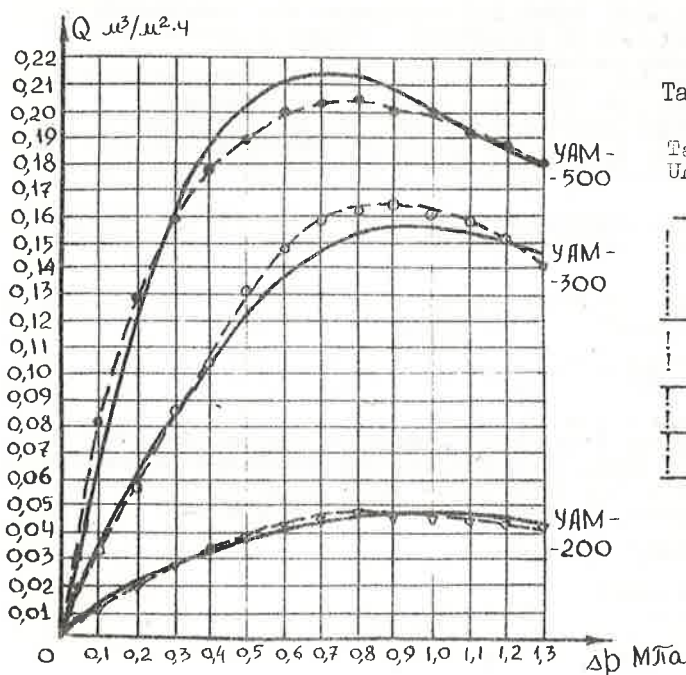


Рис.3. График зависимости проницаемости от перепада давления.

— опытные данные;
— кривые, полученные из уравнения (10)

Figure 3. Plot of the permability, Q , versus the pressure difference Δp across the membrane
— empirical data
— theoretical curves obtained from equation (10)

а при $\Delta p > k_1$ происходит уменьшение проницаемости, поскольку при этих перепадах давления доминирующее влияние на зависимость проницаемости Q от Δp будет оказывать сжатие пор и уменьшение пористости мембраны вследствие ее эластичности. Таким образом, наши исследования позволили определить весьма важный параметр работы на ацетатцеллюлозных мембранных серий УАМ — предельный перепад давления Δp , обеспечивающий наибольшую производительность мембрани. Кроме того нами получено уравнение (10) для приближенного расчета проницаемости ацетатцеллюлозных мембран в зависимости от перепада давления.

Литература

- Дитнерский Ю.И. Мембранные процессы разделения жидкых смесей, М., Химия, 1975.
- Дитнерский Ю.И. Обратный осмос и ультрафильтрация. М., Химия, 1978.
- С.-Т. Хванг, К. Камермайер Мембранные процессы разделения. М., Химия, 1981.
- Э. Лайтфус. Явления переноса в живых системах, М., Мир, 1977.
- Липатов Н.Н., Марьин В.А., Фетисов Е.А. Мембранные методы разделения молока и молочных продуктов, М., Пищевая промышленность, 1976.
- Черкасов и др. О влиянии соотношения размеров частицы и поры на селективность мембран. Коллоидный журнал, том 40, №6, 1978.
- R.E. Collins. Flow of Fluids through Porous Materials. New York, 1961.
- T.C. Fung. Biomechanics. Proceedings of the 14th IUTAM Congress. Delft. Amsterdam - New York - Oxford, 1976.

Таблица 1. Значения коэффициентов k_1 и k_2 для мембран серии УАМ.

Table 1. Values of k_1 and k_2 for the UAM-membranes.

Мембрана Membrane	Коэффициенты constants	
УАМ-500	УАМ-300	УАМ-200
0,6037	0,9331	0,5201
$7,07 \cdot 10^5$	$8,97 \cdot 10^5$	$10,02 \cdot 10^5$

k_1
 $k_2, \text{ Па}$